

<論 文>

SUS 304 鋼 熔接部의 SCC 特性에 관한 研究[†]

金 永 植*·林 祐 助**

(1984年 8月 29日 接受)

An Investigation of Stress Corrosion Cracking Characteristics of SUS 304 Stainless Steel Weldments

Young Sik Kim and Uh Joh Lim

Abstract

The characteristics of the stress corrosion cracking of SUS 304 stainless steel weldments were studied with the specimens of the constant displacement type under the environment of 42% MgCl₂ boiled solution ($143 \pm 2^\circ\text{C}$). The susceptibility of initiation and propagation of the stress corrosion crack was quantitatively inspected in the weld metal, heat affected zone and heat affected zone with including the reinforcement shape, respectively. Also, those susceptibility were discussed in connection with the change of mechanical and microstructural characteristics caused by heating cycle of welding. Main results obtained are as follows:

- (1) Stress corrosion cracking is easiest to initiate and propagate in the heat affected zone of weldment.
- (2) The susceptibility of stress corrosion cracking of the weldment is largely improved by eliminating the reinforcement part of the weld bead.
- (3) The dominant factor of the cracking susceptibility of the heat affected zone appeared to be the phenomenon of softening and sensitizing caused by welding heat cycle.
- (4) Under the low loading conditions, the behavior of stress corrosion cracking of the SUS 304 steel weldment is largely influenced by the pitting phenomenon in the front region of the main crack.

[†] 1984 年度 大韓機械學會 春季學術大會(4.28)에서 發表

1. 序論

* 正會員, 韓國海洋大學 機關學科

** 正會員, 釜山水產大學 船用機械工學科

最近 각종 機械 構造物들은 더욱 輕量化, 高速化를

추구하는 방향으로發展되고 있으며, 이를機械構造물들이使用되는環境 또한 급속히多樣化, 苛酷化하고 있는 추세에 있다. 따라서 각종機械構造物이使用環境아래서長期間에 걸쳐 충분한安全性을 확보하여 그機能을 발휘하도록하기 위해서는材料強度에 미치는環境특히腐蝕性環境效果의解明과環境强度設計基準의 확립이 절실히要求되고 있다⁽¹⁾.

環境强度를左右하는破損은넓은意味에서순수한化學的作用에 의해서만 진행하는破損過程과化學的機械的 두 가지要因의相互作用에 의해 진행하는 두過程을 생각할 수 있으나 實際機械構造物에 있어서는應力이作用하고 있으므로大部分後者 즉應力腐蝕균열(Stress Corrosion Cracking, 以下SCC로약칭함)過程에 의해 그破損이진행되는것이보통이다^(2,3,4).

最近들어破壞力學의進步와더불어以上과같은SCC분야에있어서도破壞力學의취급의試圖가활발히展開되어各種데이터의蓄積이이루어지고있다⁽⁵⁾.

本研究에서는가장苛酷한腐蝕環境분위기에서널리사용되는오오스테나이트系스테인레스鋼材熔接部에대해비등염화마그네슘溶液中에서의SCC發生및傳播特性을初期應力強度계수(initial stress intensity factors) K_{Ic} 에대하여비교,檢討함으로서母材, 용접열영향부, 용착금속및비이드形狀에따른熔接부의SCC感受性을定量적으로究明하였다. 또한以上과같은각부분의SCC特性을熔接부의組織的 및機械的特性變化와관련시켜考察하였다.

2. 實驗方法

2.1. 試驗材料 및 試驗片

本實驗에서 사용된試驗材料는두께3mm인市販의SUS304오오스테나이트系스테인레스鋼材로 그化學的 및機械的特性을Table 1에보인다.

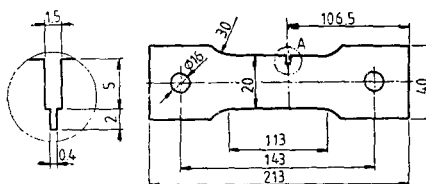
이와같은板材를母材로하여이위에스테인레스鋼熔接用熔接棒(直徑1.5mm)을利用하여TIG비이드熔接(熔接電流75Amp, 入熱量9.6kJ/cm)을實施하였다. 이러한板으로부터제취한試驗片및노치의形狀을Fig. 1(a)에보인다.

여기서노치의위치는母材, 열영향부및용착금속으로하여각각別個의試驗片으로製作하였으며, 보강부높이에따른용접열영향부의SCC特性을檢討하기위해熔接後보강부를삭제한경우와, 그높이를

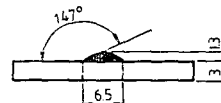
Table 1 Chemical compositions and mechanical properties of used material

Material	Chemical compositions(%)						
	C	Mn	Si	P	S	Ni	Cr
SUS 304	0.05	0.83	0.59	0.027	0.015	8.42	18.56

Temperature	Mechanical properties		
	0.2% proof stress (kg/mm ²)	Tensile strength (kg/mm ²)	Elongation gl=25mm(%)
Room temp'	25.0	60.0	60.0
143°C	14.0	44.7	71.0



(a) Shape of specimen



(b) Shape of reinforcement

Fig. 1 Dimensions of test specimen

그대로둔경우의試驗片을各各製作하였다.

여기서보강부의形狀은Fig. 1(b)에表示한바와같은形狀으로一定하게하였다.

또한試驗片의表面은사포(sand paper) 2,000番까지로研磨한후, 아세톤으로脫脂하고,試驗片表面으로부터의padding에依한영향을除去하기위하여노치先端을제외한試驗片全表面을투명한耐熱에폭시樹脂로被覆하여絕緣시켰다.

2.2. 實驗裝置 및 實驗方法

本實驗에 사용한SCC試驗機는自作한變位一定型式의것으로그概要를Fig. 2에보인다. 헌들의조작으로임의負荷應力を조정할수있도록하였으며,負荷應力은試驗片一端에固定된load cell을거쳐digital strain indicator에依해測定하였다.

腐蝕環境은42%의비등염화마그네슘溶液(溫度: 143±2°C)이며증발로因한浴液濃度의變化를防止

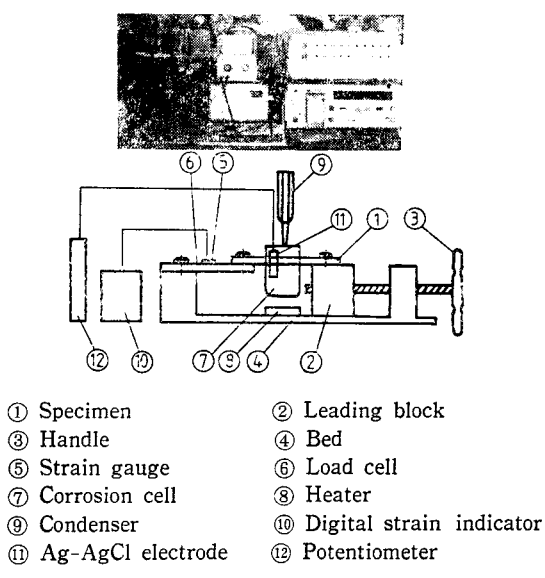
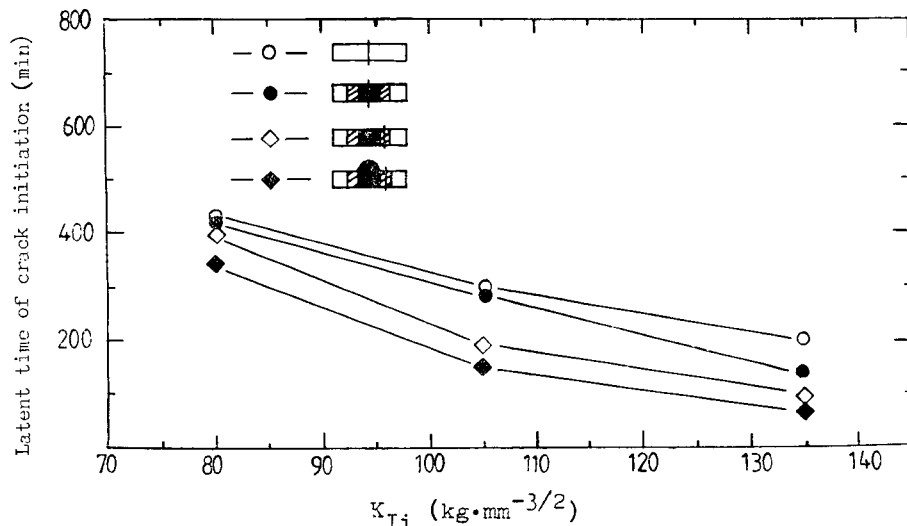


Fig. 2 Schematic diagram of test apparatus

하기 위해 容器 上部에 응축기(condenser)를 설치하여 腐蝕 溶液의 濃度를 一定하게 유지하였다.

SCC 傳播길이는 以上과 같은 溶液속에 試驗片을 一定 時間 沈漬, 負荷한 後 10倍의 擴大境으로 測定하여 初期 應力強度계수 K_{Ii} 값에 따른 傳播거동을 母材 열영향부 및 용착금속별로 考察하여 각각의 特性를 比較, 檢討하였다.

또한 以上과 같은 結果를 熔接部의 組織的, 機械的 特性變化와 관련하여 考察하였다.

Fig. 3 Latent time of crack initiation vs. various initial K_{Ii} value following notch position

3. 實驗 結果

3.1. 熔接部의 SCC 發生特性

Fig. 3은 熔接部의 細部 부분 즉 母材(BM), 열영향부(HAZ) 및 용착금속부(WM)에 있어서 試驗片을 腐蝕溶液에 沈漬한 후 SCC 發生까지의 潜伏期間을 3種類의 初期 應力強度계수 K_{Ii} 값에 대하여 정리하여 보인 것이다.

여기서 初期 應力強度계수 K_{Ii} 값은 다음 式에 依해 求하였다^(6,7).

$$K_{Ii} = Y\sigma \sqrt{a} \quad (1)$$

여기서

σ : 負荷應力,

a : 初期노치길이

W : 板幅,

$$Y = 1.99 - 0.41\left(\frac{a}{W}\right) + 18.70\left(\frac{a}{W}\right)^2 - 38.48\left(\frac{a}{W}\right)^3 + 53.85\left(\frac{a}{W}\right)^4$$

Fig. 3에는 熔接補強部를 삭제하지 않는 용접열 영향부와 熔接補強部를 삭제한 후 같은 용접열 영향부에 노치를 加工하여 試驗한 것이 比較되어 있다.

이 結果에 依하면 初期 應力強度계수 K_{Ii} 값이 增加함에 따라 加工된 노치 先端에서 새로운 균열이 發生하기까지의 潜伏期間은 短縮되고 있는一般的 경향을 잘 나타내고 있으며, 同一한 初期 負荷 條件 下에서는 熔接補強部를 삭제치 않은 열영향부, 熔接補強部를 삭제한 열영향부, 용착금속부 및 모재의 順으로 균열 發

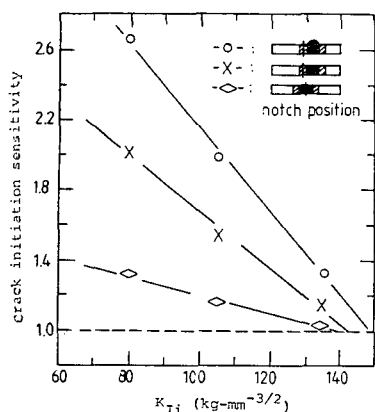


Fig. 4 Crack initiation sensitivity vs. initial K_{Ii} value in various position
 (Crack initiation sensitivity =

$$\frac{\text{Crack initiation time of base metal}}{\text{Crack initiation time of particular position}}$$
)

生까지의 潜伏期間이 길어 지는 樣相을 보이고 있다. 여기서 注目되는 것은 熔接後 熔接補強部를 삭제함으로서 균열 發生까지의 潜伏期間이 길어 지는 것이다. 이것은 보강부를 삭제함으로서 보강부로 因한 응력집중 效果가 소멸되고 또한 熔接部 주위에 形成된 残留應力이 완화되기 때문인 것으로 思慮된다.

Fig. 4는 上과 같은 현상을 좀더 定量的으로 檢討하기 위해, 母材에 있어서의 균열 發生 潜伏期間에對한 熔接部의 細部 部分에 있어서의 SCC 潜伏期間의 比를 계산하여 比較함으로서 熔接部의 細部 部分에서의 SCC 發生 感受性을 定量的으로 評價하여 보인 것이다. 이에 依하면 初期 應力強度계수 K_{Ii} 값이 增加할 수록, 母材에 대한 熔接部에 있어서의 SCC 發生 感受性은 低下하고 있는 것을 보이고 있다.

따라서 熔接構造物의 경우, 낮은 負荷 條件일 수록 母材에 比해 熔接部 특히 보강부를 삭제하지 않는 열영향부에서 SCC가 쉽게 發生할 수 있다는 것을 보이고 있다.

또한 Fig. 4에 의하면 初期 應力強度계수 값 $K_{Ii}=80\text{kg}\cdot\text{mm}^{-3/2}$ 에서 보강부의 形狀效果를 가진 용접열 영향부는 母材의 경우 보다 SCC 發生 感受性이 2.6倍程度 높게 나타나고 있으며, 보강부를 삭제함으로서 균열 感受性은 2.0程度로 낮출 수 있음을 보이고 있다.

以上과 같은 結果로 부터 熔接部의 SCC 發生 感受性을 모재의 그것과 비교할 때 낮은 負荷狀態에서 더 문제시 되고 있으며 熔接後 熔接補強部 삭제효과는 때

우크게 나타나고 있음을 알 수 있다.

3.2. 熔接部의 SCC 傳播特性

Fig. 5은 $K_{Ii}=135\text{kg}\cdot\text{mm}^{-3/2}$ 과 $K_{Ii}=80\text{kg}\cdot\text{mm}^{-3/2}$ 조건에서 용접열 영향부에서 發生 傳播한 SCC의 巨視的 樣相을 나타낸 것이다. 이에 依하면 Fig. 5(a)의 경우는 노치로 부터 發生 傳播한 SCC 주위에 充分한 크기에 塑性域이 觀察되고 있음을 보인다.

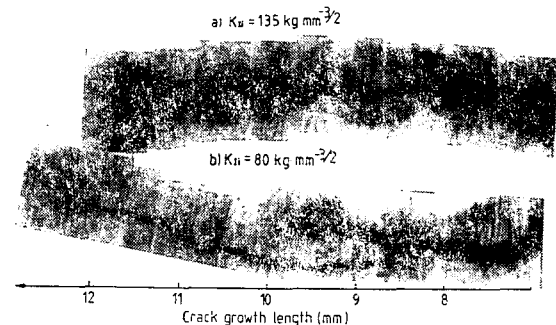


Fig. 5 Appearance of propagation at $K_{Ii}=135\text{kg}\cdot\text{mm}^{-3/2}$ and $K_{Ii}=80\text{kg}\cdot\text{mm}^{-3/2}$

따라서 SUC 304 스테인레스 鋼材의 SCC 傳播機構는 균열 進展에 앞서 塑性變形이 發生하며 이러한 塑性領域內를 따라 균열이 傳播하는 一般 延性 균열 進展機構와 同一한 樣相을 보이고 있다. 특히 이러한 塑性變形은 균열 先端領域에서 스테인레스 鋼材의 不動態 皮膜을 파괴시켜 金屬이온의 溶出을 촉진시킴으로서 SCC

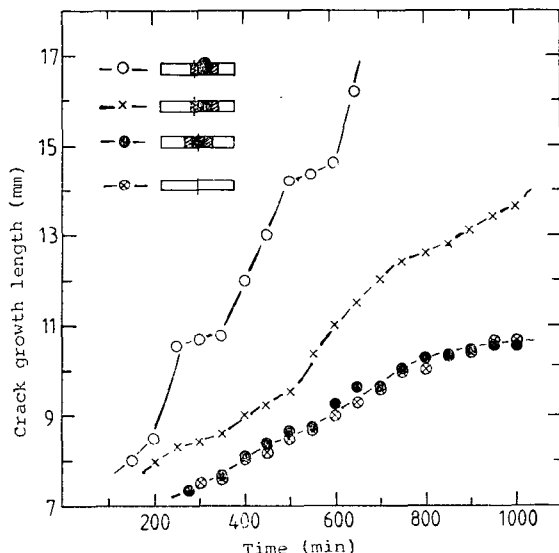


Fig. 6 Crack growth length vs. testing time in various position ($K_{Ii}=105\text{kg}\cdot\text{mm}^{-3/2}$)

傳播에 지배적 역할을 하는 要因으로 思慮된다.

또한 K_{Ic} 값이 낮은 Fig. 5(b)는 Fig. 5(a)와는 달리 균열 先端領域에서 發生한 別個의 균열이 主 균열과 合致되어 있는 양상을 보이고 있다. 이것은 K_{Ic} 값이 낮아지면 主 균열이 전전되기에 앞서 균열 先端領域에 散在되어 있는 介在物이 집중적으로 pitting 현상을 받아 여기서 應力集中 현상이 일어나서 균열이 發生되고 이것이 主 균열과 合致된 결과로 생각된다.

Fig. 6은 初期 應力強度계수 K_{Ic} 값을 $K_{Ic}=105\text{kg}\cdot\text{mm}^{-3/2}$ 으로 一定히 하여 母材, 보강부를 삭제한 열영 향부, 보강부를 삭제치 않은 열영 향부等 熔接部 細部에 있어서의 時間に 따른 SCC 傳播길이를 定理하여 보인 것이다. 이에 依하면 열영 향부에서의 균열 傳播速度가 용착금속부나 母材에 比해 빠르게 나타나 있으며 특히 보강부를 삭제치 않았을 경우 그 傳播速度는 현저히 빨라지고 있음을 보이고 있다.

Fig. 7은 SCC 發生까지의 潜伏期間이 가장 짧으며 또한 傳播速度가 他部分에 比해 가장 빠른 보강부를 갖는 試驗片의 열영 향부에 對해, 各種 初期 應力強度계수 K_{Ic} 값에 있어서, 時間に 따른 SCC 進展 舉動을 比較하여 보인 것이다. 初期 負荷 조건 K_{Ic} 값이 加함에 따라 加工된 노치 先端에서 SCC 發生까지의 潜伏期間은 短縮되고 있으며 균열전파길이 또한 급격히 增加하는 樣相을 보이고 있다. 여기서 K_{Ic} 값이 $55\text{kg}\cdot\text{mm}^{-3/2}$ 인 경우는 負荷 초기에는 SCC 進展이 이루워

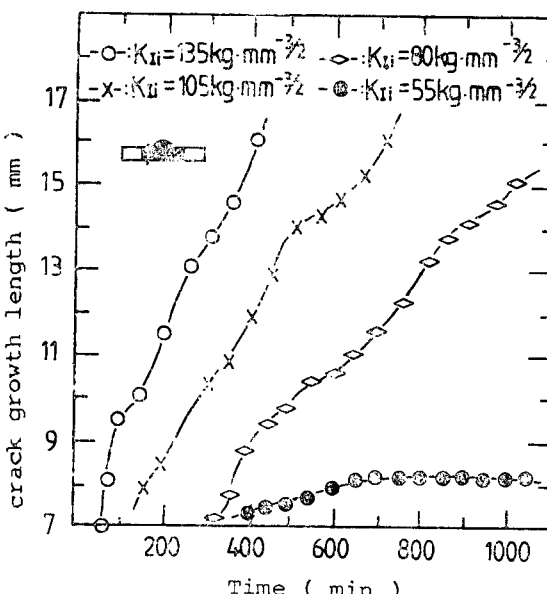


Fig. 7 Crack growth length vs. testing time in several loading conditions

지나 一定時間 경과 後는 균열 進展이 이루어 지지 않고 停止하고 있는 樣相을 보이고 있다.

따라서 $K_{Ic}=55\text{kg}\cdot\text{mm}^{-3/2}$ 조건에서는 SUS 304 스테인레스 鋼材 熔接部에 있어서 가장 SCC에 민감한 部位인 열영 향부에서도 SCC 進展은 이루어 지지 않으므로 이 값은 SUS 304 스테인레스 鋼材 熔接部의 K_{Ic} SCC threshold 값으로 推定된다.

4. 考 察

以上에서 SUS 304 스테인레스 鋼材 熔接部의 SCC 發生 및 傳播 感受性은 補強部의 形상효과를 제외하면 용접 열영 향부가 가장 민감한 것으로 나타났다. 이의 原因을 分析하기 위해 熔接部의 組織의 特性 및 機械的 特性를 調査하여 그 結果를 Fig. 8 및 Fig. 9에 보인다.

Fig. 8은 母材, 열영 향부 및 용착금속부의 연속적인 미세조직을 보인 것이다. 용착금속부에서 멀어짐에 따라 結晶粒은 微細화되어 가고, 이러한 微細化領域은 또한 母材 原質部와 區分됨을 알 수 있다. SUS 304 오스테나이트 스테인레스 鋼材는 變態點이 없으므로 熔接熱 사이클로 因한 變態組織은 期待할 수 없으나 母材가 塑性加工되어 있으므로 熔接時의 열영 향을 받아 일어나는 再結晶 현상으로 因해 組織의 變化가 일어남을 기대할 수 있다. 따라서 용접 열영 향부는 塑性加工에 依해 加工硬化된 母材 原質部가 再結晶됨으로서 軟化될 것으로 기대된다. Fig. 9는 이러한 結果를 나타낸 것으로 일반 탄소강 熔接部와는 달리 열영 향부가 母材나 용착금속부에 比해 軟化되어 있음을 實際로 보여주고 있다.

따라서 용접 열영 향부는 이러한 負荷條件下에서 他部分에 比해 塑性變形을 쉽게 하고 이러한 塑性變形은 스테인레스 鋼材의 不動態 皮膜의 빠른 파괴를 초래하여 빠른 SCC 發生 및 傳播에 기여하는 것으로 考察된다.

Fig. 10은 熱影響部를 擴大한 微細組織으로 母材 原質部에 比해 結晶粒界에 多量의 炭化物이 析出되어 있는 樣相을 보이고 있다. 이것은 熔接熱 사이클로 因해 초래되는 鋒敏化 現象으로 $(\text{Fe}, \text{Cr})_{23}\text{C}_6$ 形態의 炭化物이 粒界에 析出되어 粒界부근의 Cr 결핍 층을 가져온다^[8, 9].

따라서 스테인레스 鋼材 特性인 不動態 形성이 粒界에서 어려워지고 또한 電位도 낮아지게 되므로 粒界가 우선적으로 腐蝕되는 상태를 誘發케 된다^[9, 10].

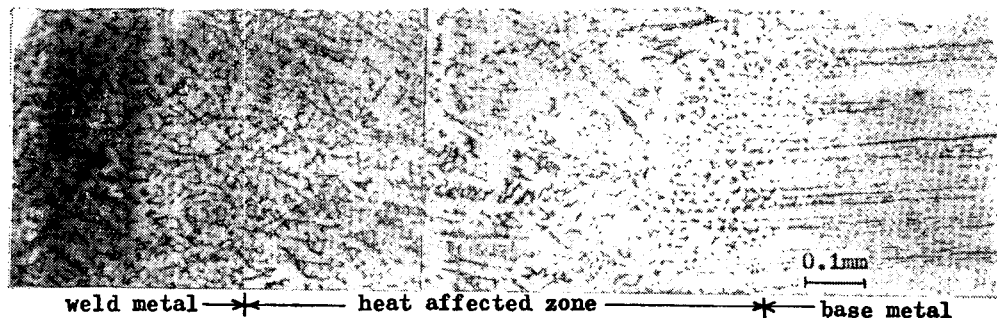


Fig. 8 The Change of microstructures at each distance from weld zone

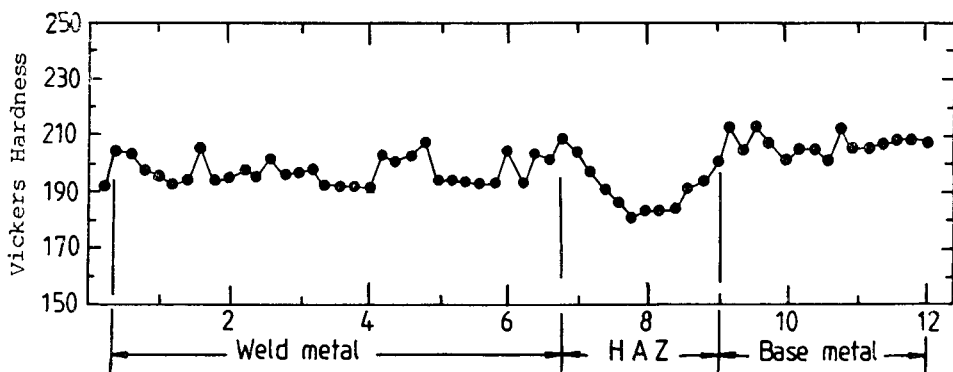


Fig. 9 Vickers hardness on the weld zone

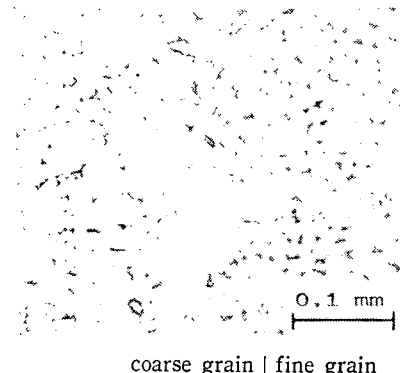


Fig. 10 Microstructure of heat affected zone

이러한粒界의 우선적腐蝕현상은 鋭敏化현상이
현저한熔接熱影響부의 SCC發生 및傳播感受性을
他部分에比해 더욱높이는結果를가져온다.

以上의考察에서 SUS 304鋼材熔接熱影響부의
SCC感受性은熔接熱사이클로因한組織의軟化 및
Cr 탄화물의粒界析出현상이支配的으로作用하고 있는
것으로推定된다. 따라서熔接部의軟化 및鋭敏化
현상을 저지할 수 있는熔接法 또는熔接後溶體化熱

處理等의 實施로熔接熱影響부의 SCC感受性을鈍化
시킬 수 있을 것으로思慮된다.

5. 結論

定變位引張試驗機를利用하여 SUS 304鋼熔接部의
42%비등염화마그네슘溶液($143\pm2^{\circ}\text{C}$)中에서의
SCC特性을研究한結果 다음과 같은結論을得았다.

(1)熔接部의 SCC感受性은 열영향부가 가장 민감
하며, 이러한感受性은初期負荷條件의 작을수록母
材에비해 현저하게 커진다.

(2)熔接部의 보강부를 삭제함으로서 SCC發生,傳
播感受性은 크게鈍화시킬 수 있다.

(3)熔接熱影響부의 SCC感受性은熔接熱사이클
로因한軟化와鋭敏化현상의 두가지 중첩된效果에
의해 높아진다.

(4)初期負荷條件 K_{Ic} 값이 낮아지면主균열先端領域
에서 pitting현상에依해發生한 별개의균열이主
균열과合致되어균열進展舉動에重要한影響을
끼친다.

(5)SUS 304鋼熔接部의 경우, 初期應力强度계수

$K_{Ic} = 55 \text{ kg-mm}^{-3/2}$ 以下의 負荷 條件에서는 SCC 傳播
가 이루어지지 않고 정체한 상태로 남는다.

參 考 文 獻

- (1) 向井喜彦, 村田雅人, ステンレス鋼の應力腐食割れに對する破壞力學の適用について, 日本溶接學會誌, 第48卷 第11號, p. 5, 1979
- (2) 駒井謙治郎, 應力腐食割れ及び腐食疲労への破壞力學の應用, 日本溶接學會誌, 第52卷 第3號, p. 22, 1983
- (3) K. Takashima, N.W. Ringshall, Y. Higo, T. Obinata, T. Nakamura and S. Nunomura, The effect of Martensite of the Stress Corrosion Cracking of austenitic stainless steel, Fracture research, Vol. 2, p. 981, 1981
- (4) 渡邊正記, 向井喜彦, 四十方利之, 川方久敬, 繰返し荷重下におけるステンレス鋼およびその溶接繼手の應力腐食割れに関する研究(第1報), 日本溶接學會誌, 第39卷 第6號, p. 70, 1970
- (5) 向井喜彦, 村田雅人, オーステナイ系ステンレス鋼ならびにその溶接繼手における應力腐食割れ傳播特性の破壞力學的評價に關する研究(第1報), 日本溶接學會誌 第48卷 第2號, p. 64, 1979
- (6) 石田誠, き裂の彈性解析と應力擴大係數, 培風館, p. 177, 1972
- (7) 向井喜彦, 村田雅人, 福嶋壽文, オースナイト系ステンレス鋼ならびにその溶接繼手における應力腐食割れ傳播特性の破壞力學的評價に關する研究(第2報), 日本溶接學會誌, 第48卷 第2號, p. 64, 1979
- (8) Mars G. Fontana, Norbert D. Greene, Corrosion Engineering, McGraw-Hill Book Co., pp. 58~60, 1978
- (9) 藤田輝夫, ステンレス鋼の熱處理, 日刊工業新聞社, p. 120, 1981
- (10) 日根文男, 腐食工學の概要, (株)化學同人, pp. 91~92, p. 120, 1977